

# نمذجة وتحليل السلاسل الزمنية لإنتاج القضبان والأسياخ في الشركة الليبية للحديد والصلب خلال الفترة الممتدة من سنة 1988 إلى سنة 2024، باستخدام برنامج EViews10

د. عمر ابراهيم اعزوزة<sup>2</sup> جامعة مصراتة - كلية الهندسة، مصراتة ، ليبيا

أحمد إبراهيم الغصري<sup>1</sup> جامعة مصراتة - كلية الهندسة، مصراتة، ليبيا farhoodyahmed@gmail.com

#### الملخص

استامت الورقة بتاريخ 2025/07/05، وقبلت بتاريخ 2025/07/28 ونشرت بتاريخ 2025/07/29

الكلمات المفتاحية: السلاسل الزمنية، نموذج ARIMA، التنبؤ، الشركة الليبية للحديد والصلب، EViews10.

تم في هذه الدراسة تحليل السلسلة الزمنية لإنتاج منتج القضبان والأسياخ في الشركة الليبية للحديد والصلب خلال الفترة الممتدة من سنة 1988 إلى سنة 2024، باستخدام برنامج EViews 10، وذلك بهدف بناء نموذج تنبؤي يعتمد على البيانات التاريخية لتقدير الإنتاج المستقبلي. بعد سلسلة من اختبارات الاستقرارية والتحول إلى الفرق الأول، تم تحديد نموذج (ARIMA(1,1,1 كأفضل نموذج ملائم لتمثيل السلسلة، اعتمادًا على معابير مثل معيار أكايك (AIC) ومعامل التحديد المعدل. أظهرت النتائج قدرة النموذج على تتبع سلوك السلسلة بدقة، حيث تمكّن من تمثيل الاتجاه العام للبيانات والتذبذبات التي مرت بها خلال العقود الثلاثة الماضية، بما في ذلك الانخفاضات الحادة التي صاحبت فترات الأزمات الاقتصادية أو التحديات الإنتاجية. عند تطبيق النموذج لإجراء التنبؤ للفترة من 2026 حتى 2049، أظهرت النتائج اتجاهًا تصاعديًا تدريجيًا في حجم الإنتاج، وهو ما يعكس احتمال تحسن الأداء الإنتاجي مستقبلاً، بافتراض استقرار الظروف الاقتصادية والتشغيلية. إلا أن الرسم البياني لفترات الثقة عند ±2 انحراف معياري أظهر اتساعًا كبيراً في الهوامش مع التقدم في الزمن، مما يشير إلى ارتفاع درجة عدم اليقين كلما ابتعدنا عن الفترة الحالية. و هذا يؤكد أن نتائج التنبؤ تكون أكثر موثوقية على المدى القصير منها على المدى الطويل. توصلت الدر اسة إلى أن نماذج ARIMA يمكن أن تشكل أداة فعالة لتحليل وتوقع الإنتاج الصناعي في قطاع الحديد والصلب، شريطة تحديث النموذج بشكل دوري. ودمجه بتحليل نوعي يأخذ في الحسبان المتغيرات الخارجية غير الكمية التي قد تؤثر على دقة التنبؤات.

#### 1. مقدمة:

تُعد التنبؤات المستقبلية من الركائز الأساسية في البحث العلمي، خاصة عند دراسة الظواهر التي تتأثر بعوامل زمنية واقتصادية معقدة. ومن هذا المنطلق، تبرز أهمية استخدام النماذج الإحصائية الحديثة لتقدير القيم المستقبلية لبيانات الإنتاج الصناعي، بما يساهم في تحسين القرارات الإدارية والتخطيطية. وتُعد السلاسل الزمنية من الأساليب التحليلية الفعالة التي تعتمد على تتبع القيم التاريخية للمتغير محل الدراسة من أجل تحديد الاتجاهات والأنماط المستقبلية.

في هذا الإطار، يهدف هذا البحث إلى دراسة وتحليل السلسلة الزمنية الخاصة بإنتاج "القضبان والأسياخ" في ليبيا، وذلك في إطار بيانات الشركة الليبية للحديد والصلب الواقعة بمدينة مصراتة. وتهدف الدراسة إلى تحديد خصائص السلسلة الزمنية ومدى استقرار ها، ثم تطبيق نموذج ARIMAكأداة لتوقع الإنتاج المستقبلي بناءً على البيانات المتوفرة خلال السنوات الماضية.

ويُعد اختيار هذا المنتج بالذات نابعًا من أهميته الاقتصادية كونه من أكثر المنتجات استخدامًا في قطاع البناء والتشييد محليًا، ويُساهم بشكل مباشر في دعم الاقتصاد الوطني. كما أن توفر بيانات إنتاجه بشكل منتظم يتيح إمكانية بناء نموذج تنبؤي أكثر دقة وموثوقية. ويُتوقع أن تساهم نتائج هذا التحليل في دعم متخذي القرار داخل الشركة، من خلال توفير أدوات كمية للتخطيط الإنتاجي والتسويقي على أسس علمية، بما يساعد في تحسين الكفاءة التشغيلية وتقليل الهدر، ويساهم في مواجهة التحديات السوقية بكفاءة أكبر [12].

#### الدراسات السابقة:

لقد تناولت العديد من الدراسات السابقة موضوع النمذجة والتنبؤ بالسلاسل الزمنية باستخدام نماذج ARIMA في مختلف القطاعات الاقتصادية والصناعية .وفيما يلي استعراض لأبرز هذه الدراسات ذات الصلة بموضوع البحث الحالي:

1. دراســـة Al-Douri و Al-Amri (2021) بعنوان Al-Douri بعنوان Al-Douri و Al-Douri و Al-Douri بعنوان الخرسانة الجاهزة في العراق باستخدام نماذج (السلاسل الزمنية :(هدفت هذه الدراسـة إلى نمذجة والتنبؤ بالكميات الشهرية لإنتاج الخرسـانة الجاهزة في العراق

- باستخدام بيانات من عام 2010 إلى 2019. استخدم الباحثون منهجية ARIMA ، وبعد إجراء اختبارات الاستقرارية وتحديد الرتب المناسبة من خلال تحليل دالة الارتباط الذاتي (ACF) والارتباط الذاتي الجزئي(PACF) ، توصلوا إلى أن نموذج (ARIMA(1,1,1) هو الأنسب لتمثيل السلسلة. أظهرت نتائج الدراسة دقة عالية للنموذج في التنبؤ بالإنتاج المستقبلي، مما يؤكد على فعالية نماذج ARIMA في نمذجة بيانات الإنتاج في القطاع الصناعي الإنشائي.
- 2. دراسة Adebiyi وآخرون (2014) بعنوان) "Stock Price Prediction Using the ARIMA Model" التنبؤ بالأسعار المستقبلية لأسهم بأسعار الأسهم باستخدام نموذج :(ARIMA طبقت هذه الدراسة نماذج ARIMA للتنبؤ بالأسعار المستقبلية لأسهم شركات كبرى مثل Nokia و Zenith Bank قام الباحثون بتحليل السلاسل الزمنية لأسعار الإغلاق اليومية، وبعد التأكد من عدم استقرار السلاسل الأصلية وأخذ الفروق لجعلها مستقرة، تم اختبار عدة نماذج ARIMA أظهرت النتائج أن نماذج ARIMA يمكن أن تكون أداة فعالة وموثوقة للتنبؤ قصير الأجل في الأسواق المالية المتقلبة، مما يبر هن على قوة النموذج في التعامل مع السلاسل الزمنية المالية التي تشترك في بعض الخصائص مع بيانات الإنتاج الصناعي من حيث التقلب و عدم الاستقرار.
- 5. دراسة Fatai وآخرون (2002) بعنوان ARIMA (1904) بعنوان ARIMA) المنتجدام نماذج (ARIMA) بانتاج النفط الخام في نيجيريا باستخدام نماذج (ARIMA) ركزت هذه الدراسة على نمذجة والتنبؤ بإنتاج النفط الخام في نيجيريا، وهو قطاع حيوي ومتقلب. استخدم الباحثون بيانات الإنتاج السنوية وقاموا بتطبيق منهجية بوكس-جنكنز. بعد تحليل البيانات، وجدوا أن السلسلة غير مستقرة وتتطلب أخذ الفروق مرة واحدة .(d=1) النموذج النهائي الذي تم تحديده كأفضل نموذج هو .(ARIMA(1,1,1)نجاح النموذج في تقديم تنبؤات دقيقة للإنتاج، مما يسلط الضوء على قابلية تطبيق نماذج ARIMA بنجاح على بيانات الإنتاج السنوية في قطاعات الطاقة والصناعات الثقيلة.
- 4. دراسة (2013) Paul بعنوان Paul (2013) بعنوان Paul (2013) التجارية الرئيسية في الهند من خلال نموذج :(ARIMA تناولت هذه الدراسة تطبيق نماذج ARIMA التنبؤ بإنتاج عدد من المحاصيل الزراعية التجارية في الهند. تم استخدام بيانات الإنتاج السنوية لفترة طويلة، وبعد تحليل كل سلسلة على حدة، تم بناء نماذج ARIMA مناسبة لكل محصول. أثبتت الدراسة أن نماذج ARIMA توفر إطاراً قوياً للتنبؤ بالإنتاج الزراعي، والذي يتأثر بعوامل متعددة ويظهر تقلبات كبيرة. نجاح المنهجية في هذا القطاع يعزز من فكرة أن ARIMA أداة مرنة يمكن تكييفها لنمذجة أنواع مختلفة من سلاسل الإنتاج، سواء كانت زراعية أو صناعية.

#### مشكلة الدراسة:

تُعد الظواهر الزمنية الصناعية، مثل إنتاج القضبان والأسياخ، من المجالات التي تتسم بالتغيرات المستمرة نتيجة لتقلبات السوق المحلي والعالمي، بالإضافة إلى عوامل العرض والطلب والتكلفة والإنتاج. وفي ظل هذه الديناميكية، تبرز إشكالية النتبؤ بحجم الإنتاج المستقبلي بدقة وموثوقية، خاصة في غياب استقرار واضح في القيم الزمنية السابقة. وتزداد أهمية هذه الإشكالية في ظل حاجة الشركة الليبية للحديد والصلب بمصراتة لتخطيط عملياتها الإنتاجية بشكل ينسجم مع الواقع الاقتصادي المحلي والطلب المتوقع. لذا تسعى الدراسة إلى معالجة هذه الإشكالية من خلال استخدام منهج علمي يعتمد على تحليل السلاسل الزمنية والنمذجة الإحصائية لتقدير اتجاهات الإنتاج المستقبلية.

#### هدف الدراسة:

تهدف هذه الدر اسة إلى تحقيق الأهداف التالية:

- تحليل السلسلة الزمنية لإنتاج القضبان والأسياخ في الشركة الليبية للحديد والصلب بمصراتة خلال فترة زمنية محددة، والتأكد من خصائصها من حيث الاستقرار والتقلبات.
- 2. تطبيق نموذج ARIMA لتقدير القيم المستقبلية للإنتاج بناءً على البيانات التاريخية، من خلال تحديد القيم المثلى لمكونات النموذج (AR, I, MA).
- 3. تقديم تنبؤات كمية دقيقة تساعد في دعم اتخاذ القرار داخل الشركة، سواء فيما يتعلق بالتخطيط الإنتاجي أو إدارة الموارد أو التكيف مع متطلبات السوق المحلية.

#### أهمية الدراسة:

تبرز أهمية هذه الدراسة في كونها تقدم إطارًا علميًا ومنهجيًا لتحليل السلاسل الزمنية المتعلقة بإنتاج منتج صناعي استراتيجي يتمثل في "القضبان والأسياخ"، والذي يُعد من المواد الأساسية في قطاع الإنشاءات. وتأتي أهمية الدراسة من خلال تقديم نموذج تنبؤي يمكن أن يُستخدم في التخطيط المستقبلي لعمليات الإنتاج في الشركة الليبية للحديد والصلب بمصراتة، مما يساهم في رفع كفاءة الأداء وتقليل الهدر وتحسين الاستجابة للطلب. كما تسهم نتائج الدراسة في سد فجوة معرفية محلية من خلال توفير أدلة كمية تساعد في تعزيز قدرات الإدارة الصناعية على اتخاذ قرارات مبنية على أسس علمية.

#### تحليل السلاسل الزمنية:

يعبر عن السلسلة الزمنية بأنها مجموعة من القيم لظاهرة معينة تحدث خلال فترات زمنية محددة (t)، وتتبع هذه السلاسل أنماطاً معينة كـــ (النمط المتزايد، والنمط المتناقص) [1]، وتكون السلاسل الزمنية على نوعين متصلة كــ (سلسلة

رسم القلب، سلسلة درجات الحرارة) ومتقطعة وهي السلاسل التي تكون قيمها مأخوذة من قراءات مثبته مسبقاً خلال فترات زمنية محدد قد تكون (أيام، أسابيع، أشهر، سنوات،...الخ) [2]، إن الفكرة الأساسية للسلاسل الزمنية وتحليلها تنطوي على تقدير أنموذج رياضي يمكنه أن يحاكي الواقع لأي ظاهرة بحيث يتمكن النموذج المقدر من توليد قيم مستقبلية تخمينه باعتماد أساس هو جَعل الأخطاء المقدرة اقل ما يمكنّ وتمتلك توزيعاً طبيعياً ومستقلة إحصائياً خلال الزمنّ [3]، وعليه فإن دراسة أي ظاهرة خلال فترة زمنية محددة يجب أن تأخذ بنظر الاعتبار صفات تلك السلسلة (مستقرة، أم غير مستقرة) [3]. وعليه يقال للسلسلة الزمنية بأنها مستقرة إذا تحققت الشروط الآتية:

1- ثبات الأوساط الحسابية عير الزمن:

2- ثبات التباينات عبر الزمن:

$$V(X_t) = E[X_t - E(X_{t+1})]^2 \dots = V(X_{t+K})$$
  
=  $E[X_{t+k} - E(X_{t+k})]^2$   
=  $\sigma^2 \dots \dots$ 

3- التباين المشترك بين أي قيمتين لنفس المتغير يعتمد على الفجوة الزمنية:

$$Cov(X_t, X_{t+k}) = E[(X_t - \mu)(X_{t+k} - \mu)]$$
 $= Cov(X_{t+k}, X_{t+k+s})$ 
 $= \gamma(k) \dots \dots (3)$ 
 $= \gamma(k) \dots \dots (3)$ 
وعليه يمكن صياغة الفرضية الإحصائية التالية:
 $= H_0: X_t = Stationary$ 

 $H_0: X_t = Stationary$  $H_1: X_t = NotStationary ... ... (4)$ 

ولكي يتم التحقق من الفرضية (4) من عدمها توجد هناك عدد من الاختبارات هي:

اختبارات التحقق من استقرارية السلسلة:

إن دراسة السلسلة الزمنية يتطلب في بادئ الأمر التحقق فيما إذا كانت السلسلة خلال الفترة الزمنية المبحوثة مستقرة أو غير مستقرة، وللتحقق يمكن اللجوء إلى استعمال الاختبارات الإحصائية وهي كما يلي [4]

- 1. الرسم البيائي: وتعتبر أحد الوسائل المعتمدة في تحديد طبيعة السلسلة الزمنية (مستقرة أو غير مستقرة) من خلال ملاحظة تذبذبات السلسلة خلال الزمن لتحديد فيما إذا كان هناك اتجاهاً عاماً من عدمه، ولكن هذه الطريقة غير حاسمة في بعض الأحيان وعليه يتم اللجوء إلى اختبار ات تعتمد في نتائجها على مقاييس إحصائية.
- 2. اختبارات معنوية معاملات الارتباط: يتم اختبار استقرارية السلسلة الزمنية باتجاهين الأول من خلال رسم معاملات الارتباط الذاتية AC) Autocorrelation) والجزئية (AC) باعتماد التقديرات لتلك المعاملات والثاني هو تقدير إحصاءه  $Q_{-stat}$  التي تمتلك مستوى دلالة إحصائية (P-Value) فإذا كانت الأخيرة أقل من مستوى (0%) أي أنها تختلف جو هرياً عن (0) عندئذ ترفض  $H_0$  أي أن السلسلة غير مستقرة.

 $H_0$ :  $\rho(k) = 0$ ; Stationary  $H_1$ :  $\rho(k) \neq 0$ ; NotStationary ... ... (5)

$$Q_{-stat} = n \sum_{k=1}^{m} \hat{\rho}k^2 \dots \dots (6)$$

حيث أن: (n) حجم العينة، و (m) عدد الفجوات

$$\hat{\rho}(k) = \frac{\sum_{t=k+1}^{T} (X_t - \bar{X})(X_{t-1} - \bar{X})}{\sum_{t=1}^{T} (X_t - \bar{X})^2}; \ t = 1, 2, ..., T ... ... (7)$$

$$\rho(k) = \frac{\gamma_{(k)}}{\gamma_{(0)}} ... ... (8)$$

حيث أن: (T) تمثل حجم العينة و(K) تمثل طول الفجوة الزمنية.

- 3. اختبار دكى فولار الموسع Augmented Dickey Fuller test: يعتبر اختبار دكى فولار من أهم اختبارات جذر الوحدة التي تبحث في استقرارية السلسلة من عدمها وأدقها، من خلال تحديد مركبة الاتجاه وتم تطويره في عام 1981 من قبل العام ديكي لغرض البحث في حالة وجود ارتباطات ذاتية بين الأخطاء ويرمز له -Augmented Dickey (ADF)Fuller ويتم تقدير إحصاءه باعتماد ثلاث نماذج [4]
  - النموذج العام:

$$\nabla X_t = \lambda X_{t-1} - \sum_{j=2}^p \Phi_j \nabla X_{t-j+1} + \varepsilon_t \dots \dots (9)$$

• النموذج المقطعي (c):

$$\nabla X_t = \lambda X_{t-1} - \sum_{j=2}^p \phi_j \nabla X_{t-j+1} + c + \varepsilon_t \dots \dots (10)$$

• النموذج المقطعي (c) مع الاتجاه الزمني  $(b_t)$ :

$$\nabla X_{t} = \lambda X_{t-1} - \sum_{j=2}^{p} \phi_{j} \nabla X_{t-j+1} + c + b_{t} + \varepsilon_{t} \dots \dots \dots (11)$$

إن الفرضية المعتمدة في الصيغ (9، 10، 11) هي:

$$H_0: \lambda = 0 \text{ or } \varphi = 1 \text{ (unitroot)}$$

 $H1_{::} \lambda \neq 0 \ or \varphi \neq 1 \ (notunitroot) \dots \dots (12)$ 

ففي حالة قبول الفرضية  $H_0$  هذا دليل على أن السلسلة تعاني من جذر الوحدة (غير مستقرة)، علماً أن هناك اختبارات أخرى تستخدم في اختبارات الاستقرارية نذكر منها (KPSS, Phillips & Perron) [5].

Box - عند ثبوت عدم استقر ارية السلسلة تبعاً للاختبارات سابقة الذكر يجب أولاً معالجة البيانات من خلال اعتماد منهجية -Box و عند ثبوت عدم السلسلة تبعاً للاختبارات المتغير المراد تحويلها حسب منهجية Box-Cox باعتماد الصيغة التالية و التالية

$$X_t^{\lambda} \begin{cases} \lambda - 1(X_t^{\lambda} - 1) & ; \lambda \neq 0 \\ \ln(Xt) & ; \lambda = 0 \end{cases} \dots \dots \dots (13)$$

حبث أن:

 $X_t^{\lambda} \sim N(\mu, \sigma^2 In) \&eN(0, \sigma^2)$ 

جدول (1) بعض التحويلات حسب منهجية Box-Cox

$\lambda = -1$	$\lambda = -0.5$	$\lambda = 0$	$\lambda = 0.5$	$\lambda = 1 \dots$
$X_t^{-1} = \frac{1}{X_t}$	$X_t^{-0.5} = \frac{1}{\sqrt{X_t}}$	$ln(X_t)$	$X_t^{0.5} = \sqrt{X_t}$	$X_t^1 = X_t$

#### فحص التوزيع الطبيعي للبيانات:

بعد أجراء مراحل اختبار استقرارية السلسلة يجب التحقق من التوزيع الاحتمالي لتلك السلسلة وهل تمتلك خواص التوزيع الاحتمالي لتلك السلسلة وهل تمتلك خواص التوزيع الطبيعي، وعليه سيتم استخدام اختبار Sarque-Berra يعتمد هذا الاختبار يعتمد على معاملي (التفاطح) Kurtosis و(التناظر) Skewness (و(التناظر)

$$J.B = n \left( \frac{\left(\sqrt{Sk}\right)^2}{6} + \frac{(Ku - 3)^2}{24} \right) \dots \dots \dots (14)$$

 $J.B \sim X_{0.05}^2(2) = 1$  حيث أن: (n) تمثل حجم العينة، (Ku) معامل التفلطح، (Sk) معامل التناظر، وبما أن حجم العينة، (Ku) معامل القيمة الجدولية أو 5.991 عليه يكون القرار برفض فرضية التوزيع الطبيعي إذا كانت قيمة J.B المحسوبة أكبر من القيمة الجدولية أو ملاحظة قيمة (P-Value) إذا كانت أقل من (0.05)، إضافة إلى ذلك إذا كانت قيمة معامل (E-Value) فهذا يعني أن التفلطح الاحتمالي كفوء وأن التباينات لا تعاني من أي مشكلة. [4].

## النموذج المختلط (ARIMA(p,d,q)

يُعد النموذج المخَتلَطُ (ARIMA (p,d,q) من نماذج السلال الزمنية التي تستهدف در اسة أي ظاهرة تحدث خلال فترة زمنية باعتماد ثلاث محددات رئيسية [7] .

- 1. تحدید الرتبة (p) وهی رتبة نموذج الارتباط الذاتی (AR (p).
- 2. تحديد الرتبة (d) التي تشير إلى رتبة الفرق المستخدم لتحقيق استقرارية السلسلة.
  - 3. تحديد الرتبة (q) وهي رتبة نموذج الأوساط المتحركة (MA (q).

## نموذج الارتباط الذاتي Autoregressive Model:

و هو من نماذج السلاسل الزمنية الخطية التي تعتمد على المشاهدة X التي تفسر من خلال متوسط الترجيح للمشاهدات الماضية باعتماد رتبة تباطأ (P) ويرمز له بالرمز (P) AR [7]

$$Xt = \Phi_0 + \Phi_1 Xt - 1 + \Phi_2 Xt - 2 + \dots + \Phi_p Xt - p + \varepsilon_t$$

$$= \Phi_0 + \sum_{j=1}^{p} \Phi_j X_{t-j} + \varepsilon_t \dots \dots \dots (15)$$

حيث أن:

نمذجة وتحليل السلاسل الزمنية لإنتاج القضبان والأسياخ في الشركة الليبية للحديد والصلب خلال الفترة الممتدة من سنة 1988 إلى سنة 2024، باستخدام برنامج EViews10

متغير السلسلة عند الزمن (t).  $X_t$ 

t-i متغيرات السلسلة عند التباطأت:  $X_{t-i}$  ;  $i=1,2,\ldots,p$ 

t عند الخطاء عند الزمن  $\varepsilon_t$ 

## نموذج المتوسط المتحرك Moving Average Model:

نموذج الأو ساط المتحركة تعتبر من نماذج السلاسل الزمنية الخطية إذ تكون المشاهدة X من السلسلة الزمنية مفسرة بواسطة الأوساط المرجحة للأخطاء العشوائية، والصيغة التالية تمثل معادلة النموذج [8].

$$Xt = \varepsilon_t + \theta_1 \varepsilon_{t-1} + \theta_2 \varepsilon_{t-2} + \dots + \theta_q \varepsilon_{t-q}$$
$$= \sum_{j=1}^{q} \theta_j \varepsilon_{t-j} \dots (16)$$

## نماذج الإنحدار الذاتي (الوسط المتحرك) Autoregressive & Moving Average Models:

إن در اسة السلاسل الزمنية في كثير من حالاتها لا يمكن در استها من خلال نموذج (p) ARأو نموذج (MA (q) بصورة مستقلة وإنما من خلال الخلط بينهما والسبب يعود إلى أن السلسلة تحمل صفات النموذجين معاً و هذا ما يطلق عليه بنموذج (p, q) ، ARMA (p, q) والصيغة التالية تمثل شكل معادلة النموذج

$$X_{t} = \Phi_{0} + \sum_{j=1}^{p} \Phi_{j} X_{t-j} + \varepsilon_{t} - \sum_{j=1}^{q} \theta_{j} \varepsilon_{t-j} \dots (17)$$

## منهجية بوكس-جنكنز Box-Jenkins Methodology:

تعد منهجية بوكس جنكنز احدى الطرق الشائعة في تحليل نماذج ARIMA للسلسلة الزمنية بعد التحقق من استقر اريتها، حيث تمتاز هذه المنهجية عن الطرائق الأخرى من خلال قدراتها على النمذجة والتنبؤ من خلال اعتماد مراحل أساسية هي (تحديد رتبة النموذج، التقدير، التشخيص، ومن ثم التنبؤ) [10].

## 1. تحديد رتبة النموذج Identification:

في هذه المرحلة يتم تحديد الرتبة (p, q) لنموذج ARMA بعد اختبار دالة معاملات الارتباط الذاتي والجزئي للسلسلة فإذا كانت السلسلة غير مستقرة يتم عندئذ يتم اخذ الفروق الأول والثاني حتى تصبح السلسلة مستقرة عند الرتبة (d) لنحصل على نماذج ARIMA (p, d, q) [11].

#### 2. التقدير Estimating:

بعد تحديد رتبة النماذج يتم تقدير معالم النماذج المقدرة باعتماد احدى طرق التقدير طريقة الإمكان الأعظم أو طريقة المربعات الصغرى الاعتيادية.

## 3. تشخيص النموذج Diagnostic Model:

بعد تقدير النماذج يتم تشخيصها من خلال تقدير البواقي للنماذج المقدرة لكي يتم اختيار أفضلها من حيث تمثيلها للبيانات، ويتم ذلك من خلال تقدير معامل الارتباط الذاتي (AC) ومعامل الارتباط الجزئي (PAC) فإذا كان رسم معاملات الارتباط يقع جمعها ضــمن فترة الثقة (95%) فهذا دليل على ملائمة النموذج لأغراض التنبؤ، كما توجد معايير أخرى يمكن استعمالها لغرض فحص النموذج نذكر منها [11]:

• معيار اكاكي (Akalie Information Criteria (AIC): يُعد هذا المعيار الأكثر استعمالاً للمقارنة بين النماذج، و يعطى بالعلاقة التالية:

$$AIC = \hat{\sigma}2 \exp\left\{2\frac{(p+q)}{T}\right\} \dots \dots \dots (18)$$

حيث إن كلا من (p, q) تشير إلى عدد معالم النموذج المقدر.

• معيار شوارز (BIC) معيار شوارز (Bayesian Information Criterion (BIC) اقترح شوارز في عام (1979) معيار لتحقيق خصائص تقاربية في عملية المقارنة بين النماذج، ويعطى بالعلاقة التالية:

$$BIC = \ln(\hat{\sigma}^2) + \left(\frac{p+q}{T}\right) \times \ln(T) \dots \dots (19)$$
 متوسط مربعات الخطأ (Mean- Square Error (MSE). ويعطى وفقاً للعلاقة التالية:

$$MSE = \sum_{t=1}^{T} (e_t)^2 \dots \dots (20)$$

يكون أساس التفضيل بين النماذج المقدرة على أساس أصغر قيمة للمعايير أعلاه، كما يجدر الإشارة إلى أن هناك معايير أخرى للتفضيل منها (معيار لجونك بوكس Ljung-Box، معيار حنان Hannan-Quinn).

#### 2. الجانب العملى

## نبذة عن الشركة الليبية للحديد والصلب:

تُعد الشركة الليبية للحديد والصلب، ومقرها في مدينة مصراتة، من أبرز الشركات الصناعية في ليبيا وشمال إفريقيا. تأسست عام 1979 وبدأت الإنتاج في 1989، وتغطي منشآتها مساحة 1,200 هكتار. تعتمد الشركة على تقنية الاختزال المباشر باستخدام الغاز الطبيعي المحلي، بطاقة تصميمية تصل إلى 1.7 مليون طن من الصلب السائل سنويًا.

تُعتبر القضبان والأسياخ من أبرز منتجات الشركة، حيث تُنتج في مصّانع درفلة متخصصة تشمل أربعة خطوط، بالإضافة إلى مصنع "القضبان 2" الذي دُشن في نوفمبر 2018 بطاقة إنتاجية تبلغ 800,000 طن سنويًا. تتراوح مقاسات القضبان بين 8 و40 ملم، وتُستخدم بشكل واسع في مشاريع البناء والبنية التحتية داخل ليبيا وخارجها. تتميز هذه المنتجات بجودتها العالية، مما يجعلها مطلوبة في الأسواق الإقليمية، حيث تم تصدير كميات كبيرة إلى دول مثل إيطاليا وألبانيا ومصد

تسعى الشركة إلى تعزيز مكانتها من خلال خطط توسعية لزيادة الطاقة الإنتاجية إلى أكثر من 4 ملايين طن سنويًا، مع التركيز على الجودة والتنافسية في الأسواق المحلية والدولية.

تم تطبيق هذه الورقة على الشركة الليبية للحديد والصلب انطلاقا من أهمية هذه الشركة باعتبار ها مفصلا حيويا من مفاصل الدولة في مجالات صناعة الحديد والصلب، لكي يتكامل البحث من الناحية البحثية تم استخدام نماذج السلاسل الزمنية المختلفة (ARIMA) للتوصل إلى أفضل نموذج يمكن من خلاله توليد قيم تنبؤيه بحجم الإنتاج.

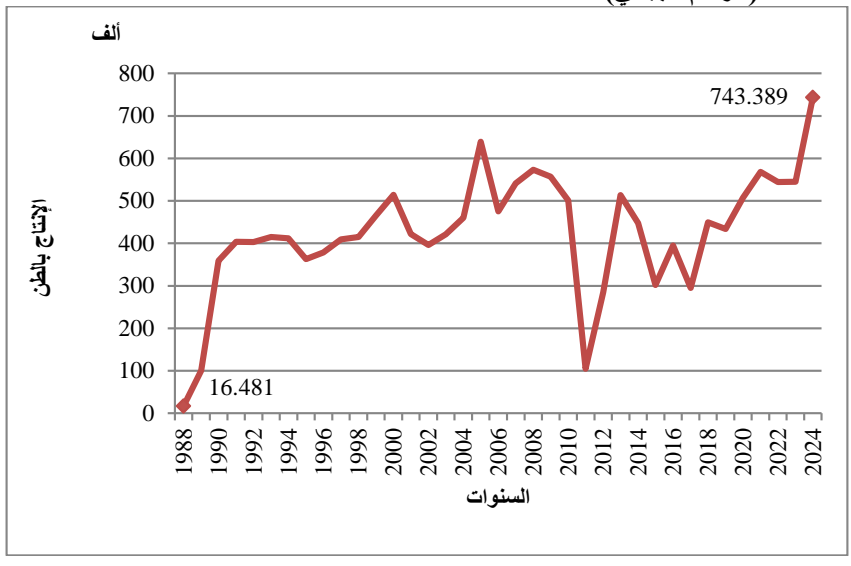
تم جمع بيانات سنوية حول حجم الإنتاج هي (حجم الإنتاج المحقق في كل سنة لمنتج القضبان والأسياخ بخطوط الدرفلة) المتحققة خلال السنوات (1988-2024) أي بواقع (37) مشاهدة.

جدول (2) الإنتاج الخاص بالقضبان والأسياخ في الشركة الليبية للحديد والصلب (سنة/طن)

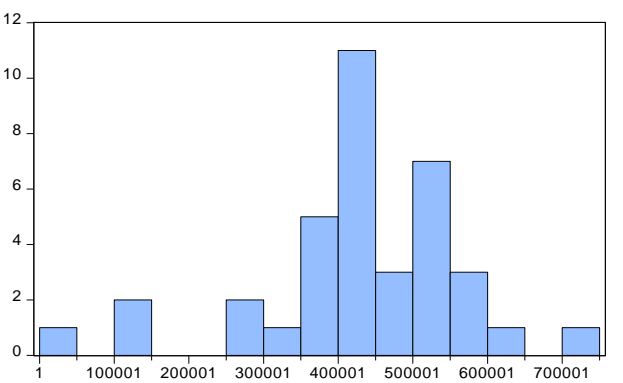
جدون (2) الإساخ الشامل والاستان والاستان المسابق المسابق المسابق المسابق							
الإنتاج بالطن	السنة	الإنتاج بالطن	السنة	الإنتاج بالطن	السنة		
284334	2012	514132	2000	16481	1988		
513811	2013	421742	2001	100382	1989		
447826	2014	396357	2002	358981	1990		
301842	2015	421134	2003	403394	1991		
395100	2016	460495	2004	403056	1992		
294965	2017	639028	2005	414987	1993		
449586	2018	475347	2006	411616	1994		
433886	2019	541342	2007	363101	1995		
506995	2020	573168	2008	378682	1996		
568098	2021	557185	2009	409397	1997		
544257	2022	501261	2010	415201	1998		
544840	2023	104867	2011	465160	1999		
743389	2024						

المصدر الشركة الليبية للحديد والصلب

التحليل الاستكشافي واختبار الاستقرارية التحليل البصري للسلسلة (الرسم البياني)



## شكل (1) حجم الإنتاج السنوي للقضبان والأسياخ



Series:	
Sample 1988	2024
Observations	37
Mean	426362.8
Median	421742.0
Maximum	743389.0
Minimum	16481.00
Std. Dev.	141850.2
Skewness	-0.863069
Kurtosis	4.602054
Jarque-Bera	8.550285
Probability	0.013910

شكل (2) التوزيع التكراري السنوي لحجم إنتاج القضبان والأسياخ في الشركة الليبية للحديد والصلب خلال الفترة (2) التوزيع الطبيعي.

يتضح من الرسم البياني أن إنتاج القضبان والأسياخ يعاني من عدم استقر اريه زمنية واضحة، حيث تتفاوت القيم السنوية للإنتاج بشكل ملحوظ على مدى الفترة الزمنية الممتدة من عام 1988 حتى 2024. ويُعزى هذا التذبذب إلى عدم ثبات المتوسطات الحسابية للإنتاج عبر الزمن، ما يشير إلى أن السلسلة الزمنية لا تتبع نمطًا خطيًا أو نمط نمو منتظم.

فمن جهة، نلاحظ فترات من النمو المتصاعد (مثل ما حدث بين 1990 و 2005)، تتبعها فترات انخفاض حاد (خاصة بين 2010 و 2012)، وهو ما يعكس تأثر الإنتاج بعوامل خارجية محتملة مثل الظروف السياسية والاقتصادية، أو الأعطال الفنية، أو نقص المواد الخام والطاقة. ومن جهة أخرى، فإن القيم المتطرفة في بعض السنوات (كالذروة في 2024) تعكس تباينات واضحة حول متوسط الإنتاج العام، مما يدل على وجود تقلبات كبيرة حول القيمة المتوسطة.

هذه المؤشرات تدعو إلى ضرورة اختبار استقرارية السلسلة الزمنية باستخدام اختبارات إحصائية مثل اختبار "ADF"، قبل تطبيق أي نموذج تنبؤي، لضمان دقة النتائج المستخلصة.

## اختبار استقرارية السلسلة (اختبار دكي فولار الموسع)

اختبار دكي فولار الموسع:

جدول (3) نتائج اختبار ADF لفحص الاستقرارية السلسلة

Null Hypothesis Augmented Dickey-Fuller test statistic	t(stat)	p-value
ADF-test statistic	-3.71783	0.0339
	level	t
Test critical Values	1%	-3.71783
Test critical values	5%	3.446546
	10%	1.225667

#### النتيجة الأساسية:

- القيمة الاحتمالية 0.05 < 0.0339 < 0.05.
- هذا يعنى أننا نرفض الفرضية الصفرية (أن السلسلة تحتوي على جذر وحدة = غير مستقرة).
  - إذًا السلسلة الزمنية مستقرة (Stationary) عند المستوى الأول (بعد الفرق الأول).

## وبمعنى آخر أن:

- القيمة الإحصائية للاختبار 3.717832 = (t-Statistic) وهي أقل من القيم الحرجة عند 1%، 5%، و10%. مما يدعم رفض الفرضية الصفرية (وجود جنر وحدة).
  - تم استخدام فرق واحد (D) للسلسلة لتحقيق الاستقرار، كما يظهر من المتغير (D(Variable).
- بناءً على اختبار ADF، فإن السلسلة الزمنية لبيانات إنتاج القضبان والأسياخ أصبحت مستقرة بعد الفرق الأول،
   ويمكن استخدام نماذج ARIMA لاحقًا (مثل (1,1,1) ARIMA أو حسب ما يتطلب النموذج).

## بناء نموذج ARIMA

#### تبرير اختيار النموذج:

"تم اختيار نموذج المتوسط المتحرك المتكامل ذاتي الانحدار (ARIMA) في هذه الدراسة نظراً لقدرته المثبتة في نمذجة وتحليل السلاسل الزمنية أحادية المتغير، والتي تتناسب مع طبيعة بيانات إنتاج القضبان والأسياخ المتاحة. يوفر نموذج ARIMAإطاراً تحليلياً قوياً وواضحاً لتحديد مكونات السلسلة الزمنية (الارتباط الذاتي، المتوسطات المتحركة، ودرجة التكامل)، وتقديم تنبؤات موثوقة بناءً على السلوك التاريخي للسلسلة نفسها، وهو ما يتوافق مع أهداف البحث. أما فيما يتعلق بالنماذج البديلة التي تم أخذها في الاعتبار:

- نموذج الانحدار الذاتي المتجه: (VAR) يتطلب هذا النموذج وجود عدة سلاسل زمنية متر ابطة (متغيرات داخلية) لنمذجة العلاقات الديناميكية المتبادلة بينها. ونظراً لأن هذه الدراسة تركز على تحليل ونمذجة سلسلة إنتاج واحدة، فإن تطبيق نموذج VAR لم يكن مناسباً ضمن نطاق البحث الحالي، حيث لا تتوفر بيانات تاريخية متز امنة لسلاسل زمنية أخرى (مثل أسعار المواد الخام أو مؤشرات اقتصادية) يمكن إدراجها كمتغيرات داخلية في النموذج.
- النماذج غير الخطية مثل: (LSTM) تُعد نماذج الشبكات العصبية مثل الذاكرة طويلة المدى القصيرة (LSTM) من التقنيات المتقدمة في تحليل السلاسل الزمنية، خاصة في التعامل مع الأنماط غير الخطية المعقدة. ومع ذلك، فإن تطبيق هذه النماذج يتطلب بيئات برمجية متخصصة ومكتبات تعلم عميق (Deep Learning Libraries) غير متاحة بشكل مباشر ضمن حزمة برنامج EViews 10 المستخدم في هذا التحليل. علاوة على ذلك، فإن دمج هذه النماذج كان سيتطلب توسيعاً كبيراً في نطاق الدراسة ومنهجيتها، مما قد يتجاوز الأهداف الأساسية المحددة للبحث.

لذلك، تم التركيز على نموذج ARIMA لتقديم تحليل معمق وموثوق لسلسلة الإنتاج المحددة. ومع ذلك، فإن استكشاف النماذج غير الخطية مثل LSTM (في حال توفر بيانات إضافية)، يمثلان اتجاهات بحثية مستقبلية واعدة يمكن أن تُبنى على نتائج هذه الدراسة".

وذلك لغرض الحصول على تنبؤات واقعية يجب تطبيق عدد من الإجراءات والاختبارات على بيانات السلسلة لكي نتمكن من تحديد النموذج المناسب والأفضل.

## تحديد نموذج ARIMA المناسب:

لكي يتم تحديد النموذج المناسب تم اتباع الخطوات التالية:

## تحديد قيم P,q باستخدام ACF,PACF

## تقدير النموذج وتدريبه:

"لضمان موثوقية النموذج وتجنب مشكلة الإفراط في الملاءمة(Overfitting) ، تم اتباع منهجية صارمة لتقسيم البيانات والتحقق من صحة النموذج. تم تقسيم كامل السلسلة الزمنية المتاحة (1988-2024) إلى مجموعتين منفصلتين:

- 1. مجموعة التدريب: (In-Sample Data) وتشمل البيانات من عام 1988 إلى نهاية عام 2020. تم استخدام هذه المجموعة حصراً لتقدير معلمات نموذج ARIMA وتدريبه.
- 2. مجموعة الاختبار: (Out-of-Sample Data) وتشمل البيانات من عام 2021 إلى نهاية عام 2024. تم حجب هذه المجموعة عن عملية التدريب واستخدامها لاحقاً كفترة اختبار لتقييم قدرة النموذج على التنبؤ ببيانات جديدة لم يرها من قبل.

إن هذا الإجراء يعالج بشكل مباشر أهمية التحقق من أداء النموذج على المدى القصير قبل تعميمه لعمل تنبؤات على أفق زمني طويل (حتى عام 2049). فمن خلال تقبيم دقة تنبؤات النموذج على فترة الاختبار (2021-2024)، يمكن الحصول على مؤشر موضوعي لمدى جودة النموذج في التقاط الأنماط الحقيقية للسلسلة الزمنية. وبناءً على هذا التقييم الإيجابي، يمكن حينها الثقة في النموذج لاستخدامه في التنبؤ المستقبلي".

## اختبارات التشخيص على البواقي:

• حساب معامل الارتباط الذاتى:

رسم نتائج معاملات الارتباط الذاتي ACوالجزئيPACلسلسلة الإنتاج.

Date: 05/17/25	Time: 15:20
Sample: 1988 2	2024
Included observ	rations: 27

Autocorrelation	Partial Correlation		AC	PAC	Q-Stat	Prob
. 🗀		1	0.454	0.454	8.2525	0.004
. 🗀 .	•     •	2	0.109	-0.122	8.7422	0.013
, <b>(a</b>		3	0.070	0.089	8.9484	0.030
· (b ·		4	0.059	0.001	9.1026	0.059
	1	5	0.036	0.009	9.1619	0.103
. 4 .		l 6	-0.040	-0.076	9.2378	0.161
· 📮 ·	• • •	7	-0.108	-0.072	9.7940	0.201
	. • .	8	-0.013	0.088	9.8018	0.279
· <b>目</b> ·	<b></b>	9	-0.098	-0.174	10.300	0.327
· 🗐 ·	1 1 1 1	10	-0.129	0.000	11.184	0.343
· 🗐 ·	! • <b>!!</b> •	11	-0.147	-0.106	12.378	0.336
· 🔲 ·	! • <b>=</b>   •	12	-0.207	-0.125	14.848	0.250
· • ·	! •	13	-0.069	0.109	15.133	0.299
· 🗭 ·		14	0.116	0.136	15.978	0.315
· 📮 ·	! • <b>!</b> •	15	0.099	0.007	16.625	0.342
· • •	, <b>q</b> ,	16	0.029	-0.045	16.685	0.406
· 📮 ·	! '■!'	17	-0.068	-0.091	17.013	0.453
' 0  '		18	-0.044	-0.017	17.162	0.512
' Q '		19	-0.032	-0.076	17.245	0.573
· 📮 ·		20	-0.102	-0.060	18.126	0.579
· • •	, <b>p</b> ,	21	-0.050	0.041	18.348	0.627
· 📁 ·		22	0.131	0.159	20.003	0.583
· 📻 ·		23	0.256	0.200	26.771	0.266
· 🛍 ·	! • <b>□</b> ! •	24	0.079	-0.175	27.467	0.283
' [ '	! <u>' L</u> '	25	-0.047	0.008	27.731	0.320
· L ·	! <b>!</b> '	26	0.021	0.073	27.787	0.369
· 🚇 ·	! ! ! !	27	0.066	-0.015	28.417	0.390
· • ·	, , ,	28	0.036	-0.035	28.625	0.432
' <b>!</b> '	!	29	0.024	-0.013	28.730	0.479
' 🦺 '	! ' !! '	30	-0.041	-0.076	29.070	0.514
' <b>!!</b> '	! <u>"</u> "	31	-0.066	-0.058	30.126	0.511
'	! <u>' "                                  </u>	32	-0.134	-0.076	35.334	0.314
' ■ '	! !!	33	-0.154	-0.004	43.926	0.097
' <u>=</u>	! !! !	34	-0.150	0.002	54.679	0.014
''	! ' 🗐 '	35	-0.210	-0.068	86.408	0.000
	· <b>-</b> ·	36	-0.179	-0.110	132.84	0.000

شكل (3) رسم نتائج معاملات الارتباط الذاتي والجزئي لسلسلة الإنتاج

## مؤشر الاستقرارية عبر اختبار Q-Stat) Ljung-Box مؤشر

نظر إلى عمود Prob، فإذا كانت الاحتمالاتُ (p-values) أقل من 0.05 في الأجزاء الأولى (كما هو الحال في lags 1، 2، و 3)، فهذا يعني وجود ارتباط ذاتي معنوي، أي أن السلسلة تعتمد على القيم السابقة بشكل غير عشوائي. وهذا ما يُشير إليه الجدول في الفترات الأولى:

Lag1: p = 0.004 Lag2: p = 0.013Lag3: p = 0.019

هذه دلالة قوية على عدم الاستقرارية.

بناءً على النتائج المقدمة في الجداول الأربعة لنماذج ARMA، يمكن مقارنة أداء النماذج بناءً على المعايير التالية: -R Schwarz Criterion 'Akaike Info Criterion (AIC) 'Adjusted R-squared 'squared مربعات الأخطاء (S.E. of regression):

جدول (4) تحديد نموذج ARIMA المناسب

النموذج (p,d,q)	R- squared	Adjusted R-squared	AIC	Schwar z Criteri on	S.E of R	ملاحظات
ARIMA (1,1,1)	0.33695	0.276672	26.356 95	26.531 11	120641 7.	معنويان جزئياً (للثابت Porb< 0.05 -R- sigmasq) MA (1), AR (1). squared أعلى بين النماذج
ARIMA (2,1,1)	0.33539	0.274971	26.359 24	26.533 35	120783 5.	(MA1) أكثر معنوية (Prob = 0.0012) أداء مشابه للنموذج الأول ولكن مع تعقيد أعلى (AR2)
ARIMA (1,1,0)	0.01405	-0.045703	26.361 41	26.493 37	123221 6.	AR/MA لا معنوية لمعاملات (prob> 0.05) (سلبي R-squared) الأسوأ أداء وفقاً لمعايير التفسير
ARIMA (0,1,1)	0.03327 9	-0.025310	26.343 63	26.475 59	122014 1.	(1) MA غير معنوي = prob) (0.2868)(1,1,0)(قاداء ضعيف لكنه أفضل قليلاً

" للتأكد من جودة وملاءمة نموذج(ACF) (ARIMA ، تم إجراء اختبارات التشخيص على بواقي النموذج. يوضح الشكل (4) مخطط الارتباط الذاتي (ACF) والارتباط الذاتي الجزئي (PACF) للبواقي، بالإضافة إلى نتائج اختبار ACF) والارتباط الذاتي والجزئي تقع ضمن حدود الثقة، كما أن جميع قيم Q-statistic. الأحتمالية (Prob) لاختبار Ljung-Box Q-statistic أكبر من مستوى الدلالة 0.05. هذه النتائج تؤكد عدم وجود ارتباط ذاتي في البواقي، وأنها تمثل ضوضاء بيضاء، مما يشير إلى أن النموذج المختار جيد ومناسب للبيانات وقادر على تقديم تنبؤات موثوقة".

Sample: 1988 2024 Included observations: 36

Q-statistic probabilities adjusted for 2 ARMA terms

Autocorrelation	Partial Correlation		AC	PAC	Q-Stat	Prob
ı <b>j</b> ı ı		1	0.054	0.054	0.1129	
ı <b>d</b>		2	-0.085	-0.089	0.4065	
ı <u>İ</u> ı	10	3	0.066	0.077	0.5883	0.443
ı <u> </u>		4	0.117	0.103	1.1764	0.555
· 🗖 ·		5	0.162	0.166	2.3342	0.506
1 1		6	0.014	0.013	2.3436	0.673
1 <b>[</b> ] 1	[	7	-0.132	-0.126	3.1596	0.675
· 🗀 ·		8	0.180	0.168	4.7380	0.578
1 1	[	9	-0.001	-0.084	4.7380	0.692
' [[ '	[	10	-0.093	-0.076	5.1928	0.737
ı <b>j</b> ı ı		11	0.029	0.034	5.2390	0.813
' 🔟 '	'    '	12	-0.125	-0.150	6.1272	0.804
1 d 1		13	-0.080	-0.097	6.5126	0.837
1 1		14	-0.004	-0.015	6.5137	0.888
ı <b>j</b> ı ı		15	0.038	0.120	6.6082	0.921
1 <b>j</b> 1		16	0.035	0.022	6.6938	0.946

## شكل (4) رسم نتائج معاملات الارتباط الذاتي والجزئي لسلسلة الإنتاج

#### مقاييس تقييم أداء النموذج

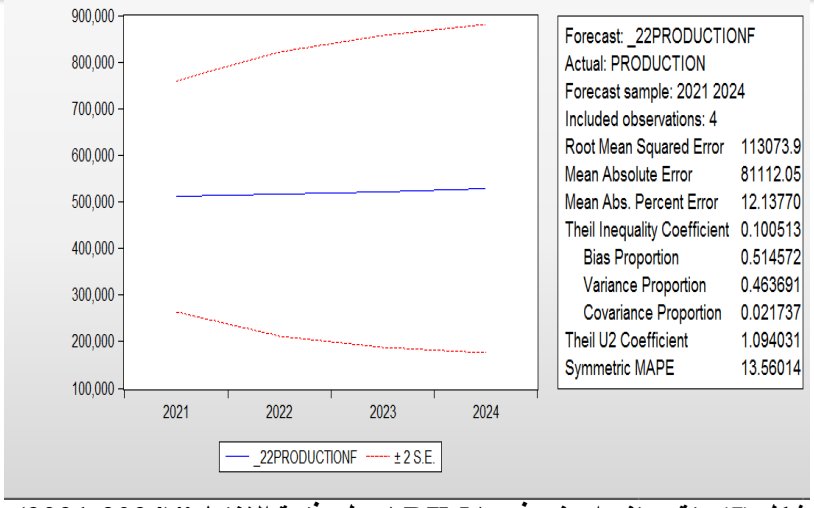
"لتقييم أداء نموذج ARIMA بشكل كمي ودقيق، تم مقارنة القيم التي تنبأ بها النموذج بالقيم الفعلية للإنتاج خلال فترة الاختبار (2021-2024). تم استخدام مجموعة من مقاييس الخطأ المعيارية والمعروفة في مجال تحليل السلاسل الزمنية، والتي كانت نتائجها كما هو موضح في الجدول التالي:

جدول (5): نتائج تقييم أداء نموذج ARIMA على فترة الاختبار (2024-2021)

المقياس(Metric)	الرمز	القيمة
جذر متوسط مربع الخطأ	RMSE	113073.9
متوسط الخطأ المطلق	MAE	81112.05
متوسط نسبة الخطأ المطلق	MAPE	12.14%

تُظهر النتائج أن النموذج يتمتع بقدرة تنبؤية جيدة، حيث بلغ متوسط نسبة الخطأ المطلق (MAPE) حوالي 12.14%، مما يعني أن متوسط الانحراف بين التنبؤات والقيم الفعلية يقع في نطاق مقبول. هذه المؤشرات الكمية توفر دليلاً قوياً على صحة وموثوقية النموذج المطور، وتدعم استخدامه في توليد التنبؤات المستقبلية".

ويوضح الشكل أدناه مقارنة مرئية بين القيم المتوقعة والقيم الفعلية خلال فترة الاختبار، بالإضافة إلى ملخص لمؤشرات الخطأ كما تم حسابها بواسطة برنامج.EViews10



شكل (5): تقييم تنبؤات نموذج ARIMA على فترة الاختبار "(2024-2021)

## تحديد أفضل نموذج:

# 1. ARMA (1,1,1) هو الأفضل للأسباب التالية:

- أعلى R-squared وR-squared و Adjusted R-squared و 0.276 على التوالي).
- معاملات (1) AR(1) فات دلالة إحصائية جزئية (1.05 Prob. < 0.05 للثابت وSIGMASQ).
- · أقل AIC (26.35695) مقارنة بمعظم النماذج الأخرى، مما يشير إلى توازن أفضل بين الدقة والتعقيد.

## 2. النموذج البديل: (ARMA (2, 1, 1)

- أداء مشابه لـ (1,1,1) لكن مع تعقيد أعلى (إضافة (2) AR غير ضرورية).

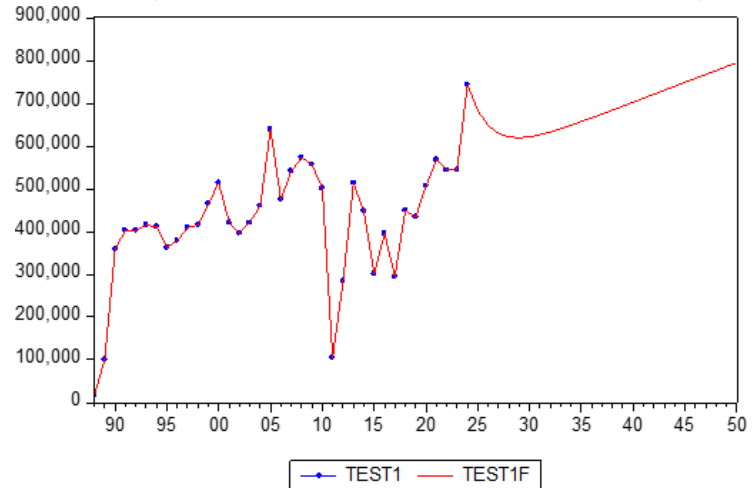
## ملاحظات إضافية:

- النماذج (1,1,0) و (0,1,1) أداؤها الأحصائي ضعيف بسبب:
- R-squaredمنخفض أو سلبي، مما يشير إلى فشل النموذج في تفسير التباين في البيانات.
  - معاملات AR/MAغير معنوية (Prob. > 0.05).
  - SIGMASQ معنوي في جميع النّماذج، مما يؤكد وجود تغير كبير في التباين. التنبؤ بحجم الإنتاج لمنتج القضبان والأسياخ في الشركة الليبية للحديد والصلب

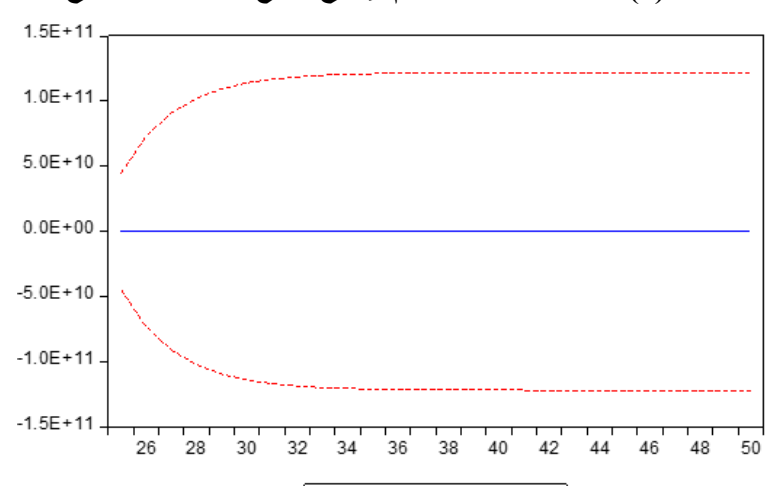
جدول (6) حجم الانتاج المتوقع لمنتج القضبان والأسياخ

	C			,, <del>u, -</del>	
الإنتاج	السنة	الإنتاج	السنة	الإنتاج	السنة
702892.5	2040	657490.8	2035	682985.4	2025
712146.5	2041	666342.2	2036	648233	2026
721417.1	2042	675358.3	2037	629691.9	2027
730698.2	2043	684478.6	2038	621396.2	2028
739986	2044	693664.7	2039	619575.5	2029
749277.9	2045	657490.8	2035	621847	2030
758572.5	2046	666342.2	2036	626704.8	2031
767868.8	2047	675358.3	2037	633197	2032
777166.1	2048	684478.6	2038	640722.2	2033
786464.1	2049	693664.7	2039	648900.2	2034
795762.6	2050				•

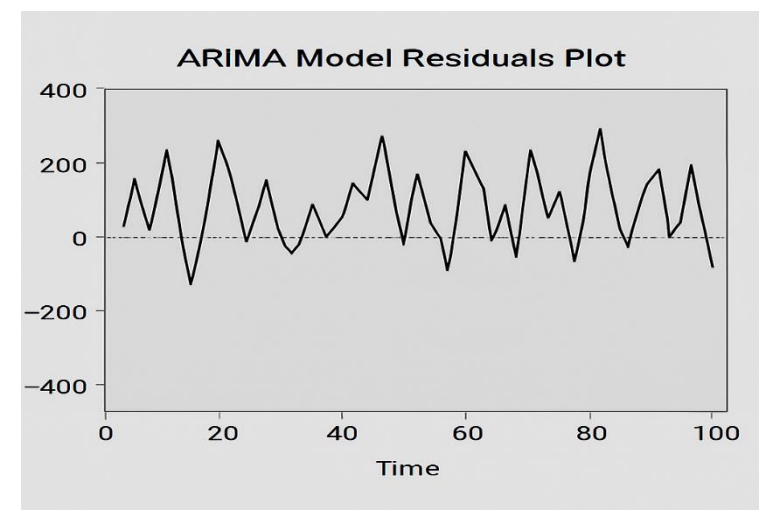
# رسم التنبؤ مع فترات الثقة (Forecast Plot with Confidence Intervals)



شكل (6) السلسلة التنبؤية لحجم الإنتاج لمنتج القضبان والأسياخ



شكل (7) السلسلة التنبؤية لحجم الإنتاج لمنتج القضبان والأسياخ



شكل (8): رسم البواقي الزمنية لنموذج (1,1,1) ARIMA

يوضح هذا الشكل تذبذب البواقي عبر الزمن بعد تقدير نموذج(ARIMA(1,1,1) ، حيث تتوزع القيم بشكل عشوائي حول الصفر دون نمط منتظم أو اتجاه واضح. يشير هذا إلى أن البواقي تمثل ضوضاء بيضاء(White Noise) ، مما يعزز من جودة النموذج وملاءمته الإحصائية.

## تحليل التنبؤ باستخدام نموذج (1,1,1) ARIMA:

أظهر نموذج (1,1,1) ARIMA قدرة جيدة على تتبع الاتجاه العام لسلسلة الإنتاج السابقة، وهو ما يتضح من التقارب بين القيم الفعلية (الزرقاء) والمتنبأ بها (الحمراء) في الرسم الثاني. بعد تقدير النموذج، تم استخدامه لتوليد توقعات مستقبلية تمدد فعرات زمنية قادمة، وقد تم تحليل النتائج كما يلى:

- 1. اتجاه السلسلة: يُظهر منحنى التنبؤ (باللون الأحمر) اتجاهًا تصاعديًا تدريجيًا في قيم الإنتاج المستقبلية، مما يشير إلى وجود ميل نمو إيجابي في الإنتاج خلال الفترات القادمة. هذا الاتجاه يوحي بأن مستوى الإنتاج قد يستمر في التحسن، بشرط استقرار الظروف الاقتصادية والبيئية والسياسية المؤثرة.
- 2. استقرار النموذج: الرسم الأول الذي يعرض القيم المتنبأ بها مع فترات الثقة ( $S.E \pm 2$ ) يُظهر اتساعًا كبيرًا في الهوامش بمرور الزمن. هذا الاتساع يعني أن درجة عدم اليقين في التنبؤ تزداد كلما ابتعدنا أكثر في المستقبل. ورغم أن التنبؤات المركزية تشير إلى نمو، إلا أن وجود فترات ثقة واسعة يعكس محدودية الدقة على المدى البعيد.
- 3. مدى ملاءمة النموذج: الرسم الثاني يُظهر تطابقًا جيدًا بين القيم الأصلية والقيم المتنبئ بها حتى نهاية الفترة التاريخية، مما يدل على أن النموذج قد نجح في التقاط الخصائص الأساسية للسلسلة الزمنية، بما في ذلك الاتجاهات والانقطاعات السابقة. "ينبغي التعامل مع هذه التوقعات بحذر، إذ تقل دقتها بمرور الزمن، ويتطلب الأمر تحديث النموذج سنويًا لضمان موثوقية النتائج".

#### 4. ملاحظات هامة:

- بالرغم من أن النموذج يعكس اتجاهًا متوقعًا للنمو، إلا أن التذبذب العالي في السلسلة التاريخية قد يؤدي إلى تفاوتات مستقبلية يصعب التنبؤ بها بدقة.
- توسيع فترات الثقة يشير إلى ضرورة توخي الحذر عند اتخاذ قرارات استراتيجية طويلة الأجل استنادًا لهذه التوقعات فقط. ينبغي التعامل مع هذه التوقعات بحذر، إذ تقل دقتها بمرور الزمن، ويتطلب الأمر تحديث النموذج سنويًا لضمان موثوقية النتائج.

#### 3. الاستنتاجات:

- 1. أظهر نموذج (1,1,1) ARIMA ملاءمة إحصائية جيدة لبيانات الإنتاج التاريخية، حيث استطاع تتبع الاتجاهات العامة للسلسلة الزمنية بدقة مقبولة.
- أشارت القيم المتنبئ بها إلى وجود اتجاه تصاعدي تدريجي في الإنتاج خلال الفترات القادمة، مما يعكس تحسنًا محتملاً في الأداء الإنتاجي على المدى القصير إلى المتوسط.
- 3. لوحظ اتساع ملحوظ في فترات الثقة مع تقدم الزمن، و هو ما يدل على تزايد درجة عدم اليقين في التنبؤات المستقبلية،
   خاصة على المدى الطويل.
- 4. بالرغم من التذبذبات الحادة التي شهدتها السلسلة في بعض الفترات التاريخية، إلا أن النموذج استطاع التكيف مع هذه التغيرات وتقديم توقعات تعكس البنية الزمنية العامة للبيانات.
- 5. تشير النتائج إلى أن استخدام نماذج ARIMA في قطاع الحديد والصلب يمكن أن يوفر أداة فعالة لتحليل الأداء والتخطيط المستقبلي، بشرط مراعاة القيود الإحصائية وحدود التنبؤ.

#### 4. التوصيات:

- أ. يُوصى باستخدام نموذج ARIMA كأداة لتحليل وتخطيط في المؤسسات الصناعية، خصوصًا في المجالات التي تتأثر بعوامل اقتصادية ودورية، مثل قطاع الحديد والصلب.
- من الأفضل إعادة تقييم النموذج بشكل دوري (سنوياً أو نصف سنوي) لتحديث التوقعات بناءً على البيانات الأحدث وتحسين دقة التنبؤ.
- 3. نظراً لاتساع فترات الثقة في التنبؤات البعيدة، يُنصح باستخدام نتائج النموذج كإطار توجيهي لا كأداة حتمية للقرارات الاستراتيجية.
- 4. من الصروري دعم التنبؤات الكمية بتحليل نوعي يأخذ بعين الاعتبار العوامل غير الكمية المؤثرة على الإنتاج، مثل التغيرات التشريعية والظروف الجيوسياسية وسلاسل التوريد.
- يُقترح دراسة نماذج بديلة أو مكملة مثل نماذج ARIMAالموسمية (SARIMA) أو نماذج الانحدار المدمجة بعوامل خارجية (ARIMAX) لتحسين الدقة في حال توفر متغيرات خارجية مؤثرة.

#### 5. المراجع

- [1] Saeed, R. A.,(2016)"Preparing 5 Years Plan for Accepting Students in Administration and Economics College / University of Baghdad by Using (Box Jenkins) Methodology", Baghdad University, Journal of Economics and Administrative Sciences, Vol(23), No.(97), Page(473-492).
- [2] Shaarawi, S. M.,(2005),"Introduction to modern time series analysis", 1Ed, King Abdulaziz University Press, No(1426/2384), Page(1-423).
- [3] Awadallah, K. G., (2016), "Using SARIMA and Holt-Winters models to forecast seasonal time series" M.Sc. in statistics, Al-Azhar University- Gaza- Applied Statistics Department, Page(1-96).
- [4]Sheikhi, Mohammed,(2011),"Methods of econometrics Lectures and applications", 1Ed, Al-Hameed printing and publishing, Page(1-436).
- [5] Oduro-Gyimah, F. K.; Harris, E.; Darkwah, K.F., (2012), "Sarima Time Series Model Application to Microwave Transmission of Yeji-Salaga (Ghana) Line-Of-Sight Link", International Journal of Applied Science and Technology, Vol. 2 No. 9;Page(40-51).
- [6] Abd El-Salam, M. E.,(2013), "A Modification of the Jarque-Bera Test for Normality", Int. J. Contemp. Math. Sciences, Vol.8, No.17, Page(843 853).
- [7] Nochai, R.; Nochai, T., (2006), "ARIMA Model for forcasting oil palm Price", Proceeding of 2ed IMT-GT Regional conference on Mathmatics, Statistics, and Applications, University Sains Malaysia, Penang, Jun(13-15), Page(1-7).
- [8] Al-Tayeb, R. A., (2014),"Time Series Analysis and it's use constructing traffic accidents models in Khartoum state 2006-2013", M.Sc. in Statistics, Sudan University of Science and technology, Page(1-86).
- [9] Al-Jubouri, N. S.; Abdullah, H. H., (2012),"Modeling the time series of the mean of monthly temperature in Samraa City", Tikrit Journal For Administration & Economics Sciences, Vol(8), No.(25), Page(143-158).
- [10]Makridakis,S.; Hibon, M.,(1997)," ARMA Models and the Box-Jenkins Methodology", Neapolis University institutional repository, Journal of Forecasting, Vol.(16), Page(147-163)
- [11] Ahmed, T.,(2018)," Using Box-Jenkins Methodology To Build A Standard Model For Forecasting of Syrian Population", Tishreen University Journal for Research and Scientific Studies -Economic and Legal Sciences Series, Vol.(40), No.(6), Page(11-26).
- [12] طاهر، أحمد هشام. (2020). استعمال نماذج (ARIMA) للتنبؤ بحجم البضائع المناولة في الموانئ العراقية: دراسة تطبيقية في الشركة العامة لموانئ العراق. مجلة العلوم الاقتصادية والإدارية، 26(150)، 474-452. <a href="http://jeasiq.uobaghdad.edu.iq">http://jeasiq.uobaghdad.edu.iq</a>